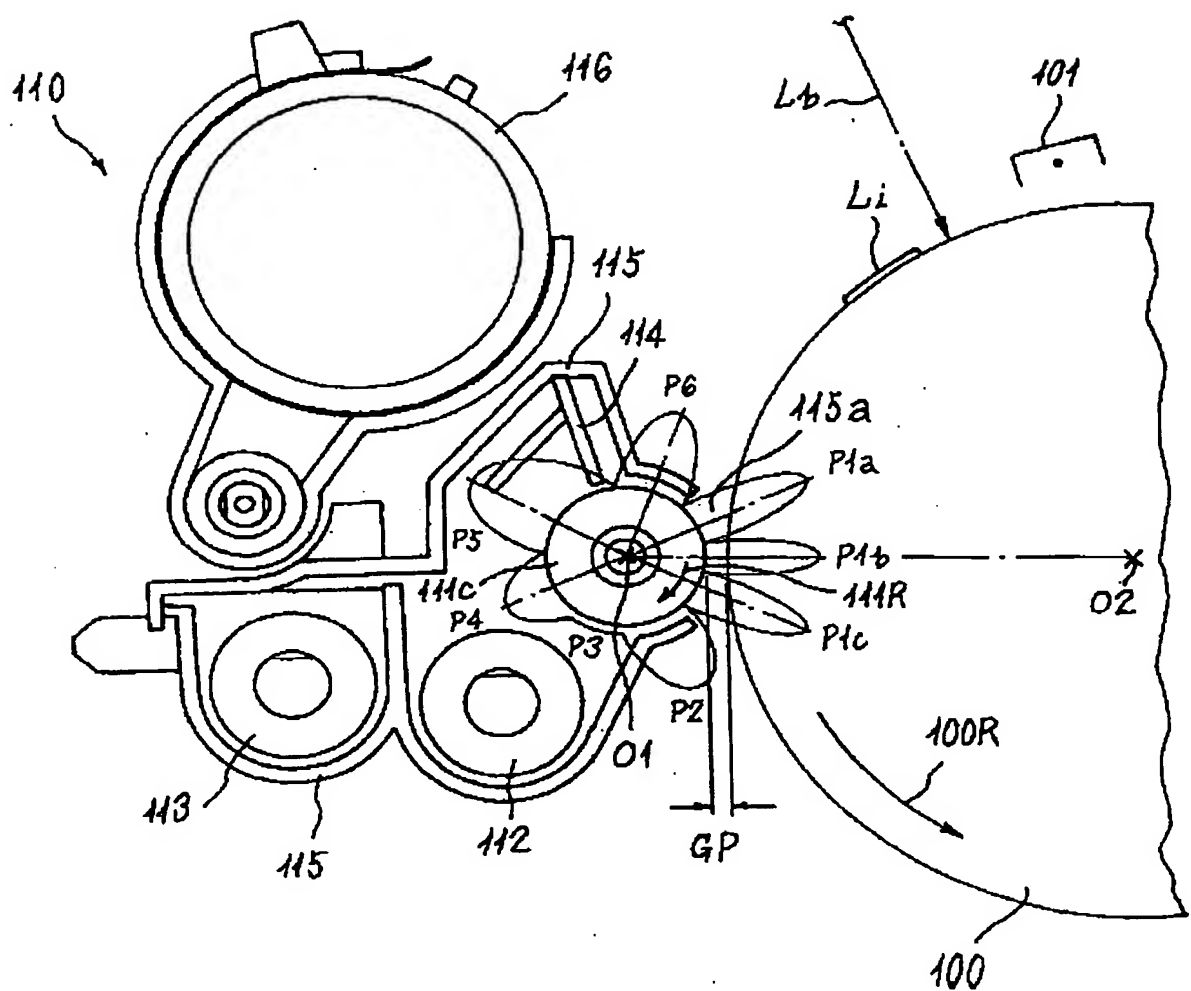


A-03063 FIGS. 1-30

FIG. 1



2
Fig.

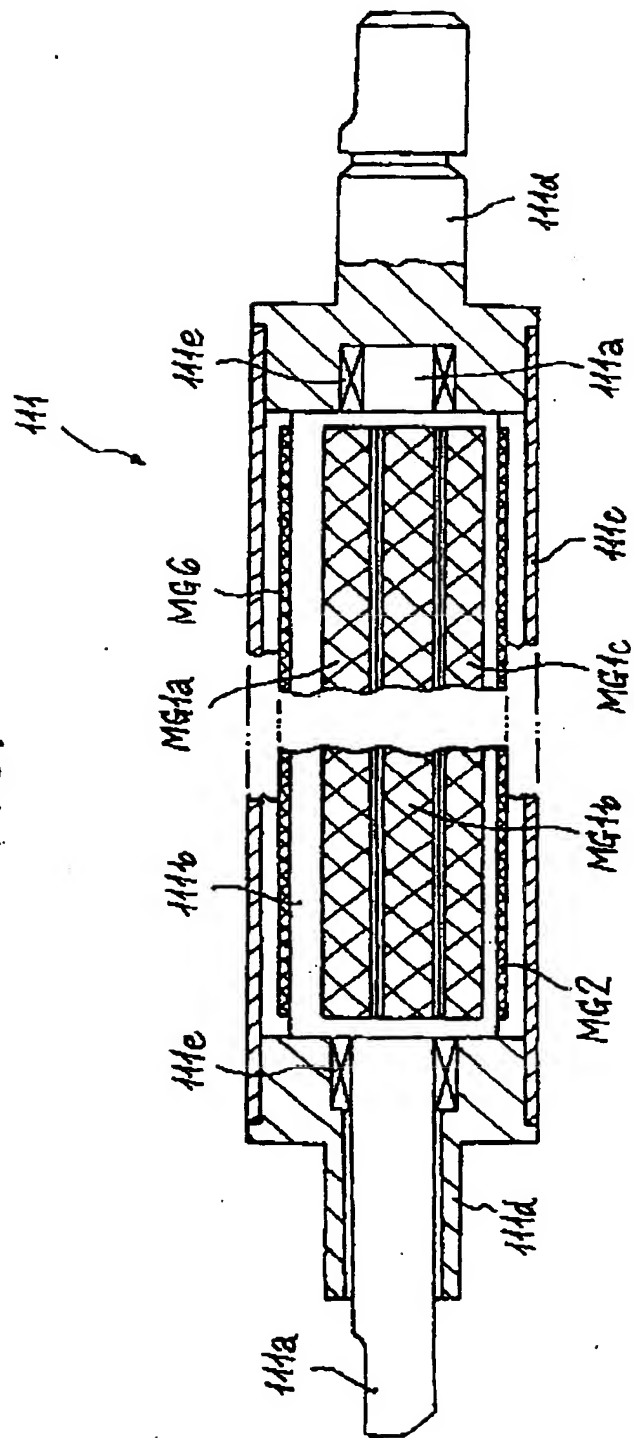


FIG. 3

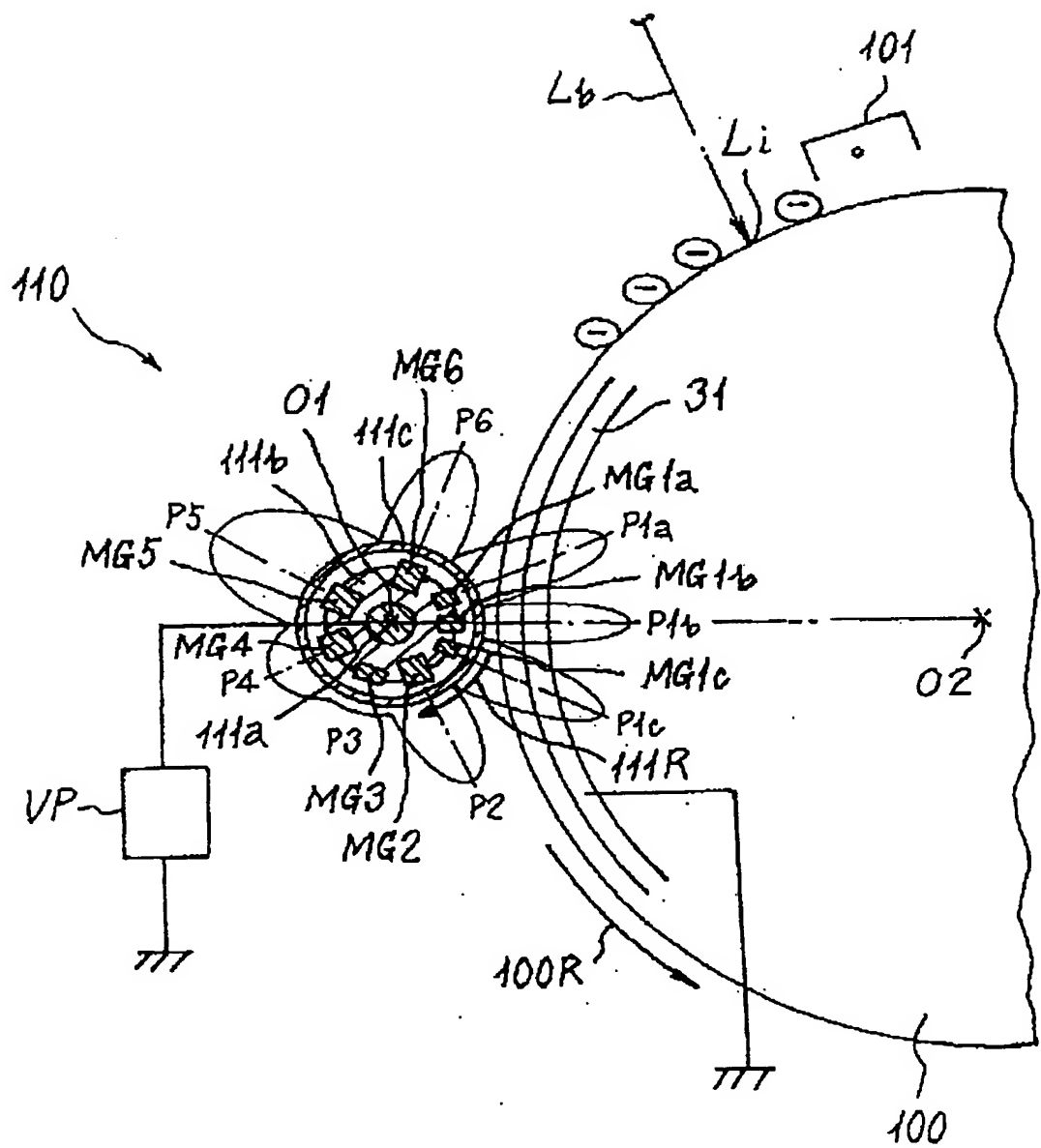


FIG. 4A

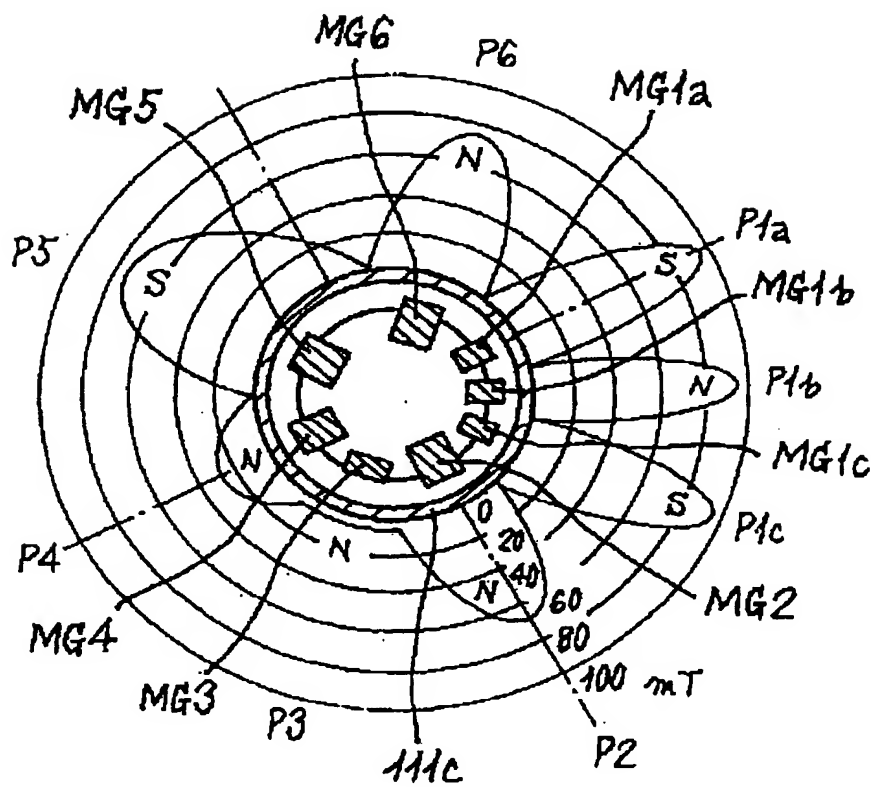


FIG. 4B

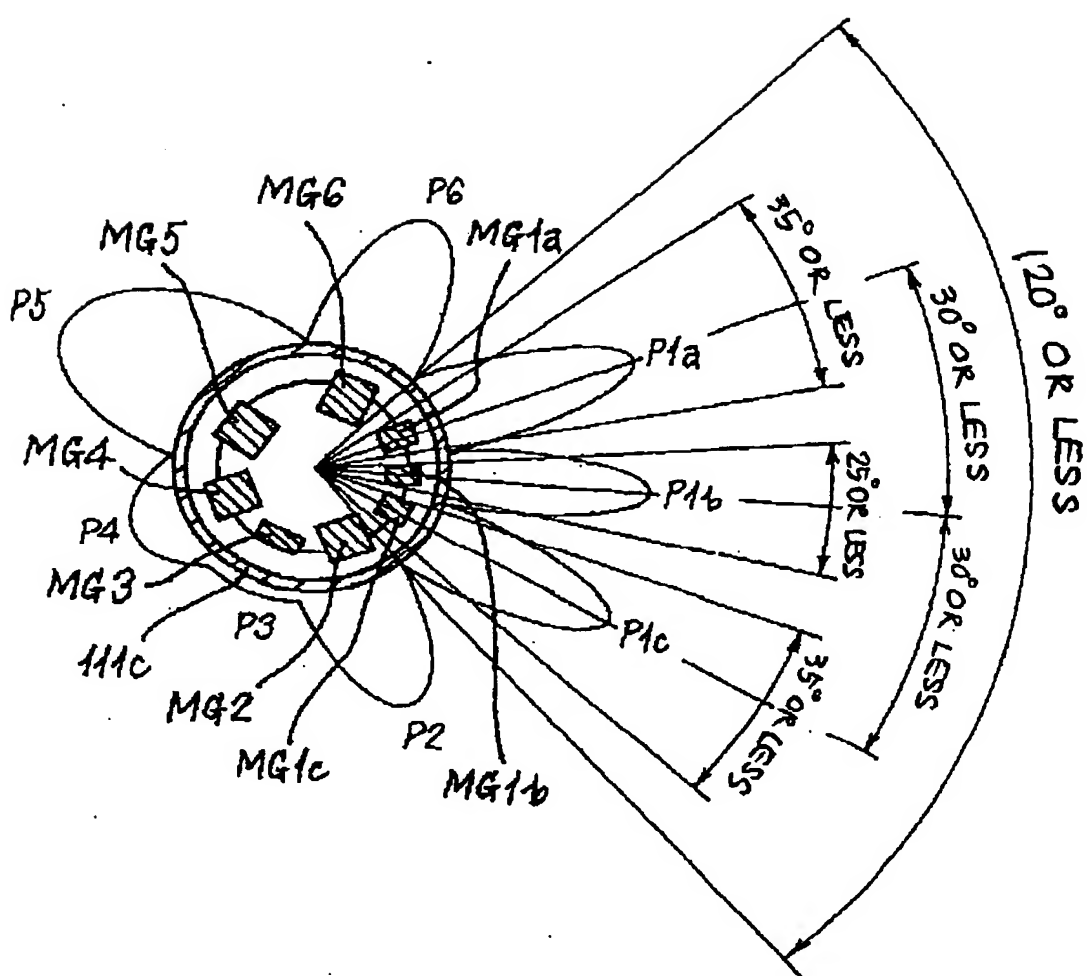


FIG. 5A

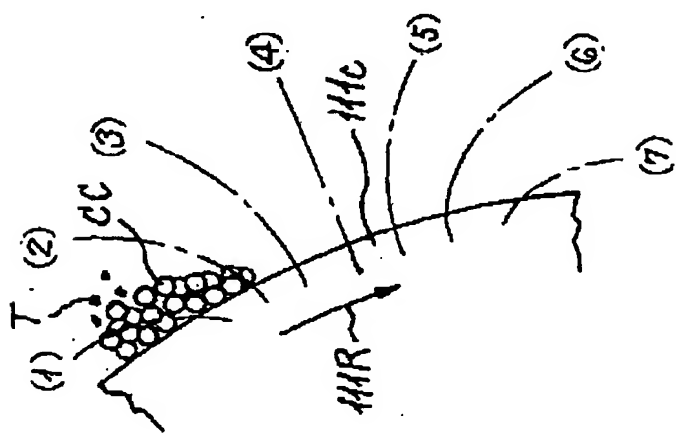


FIG. 5B

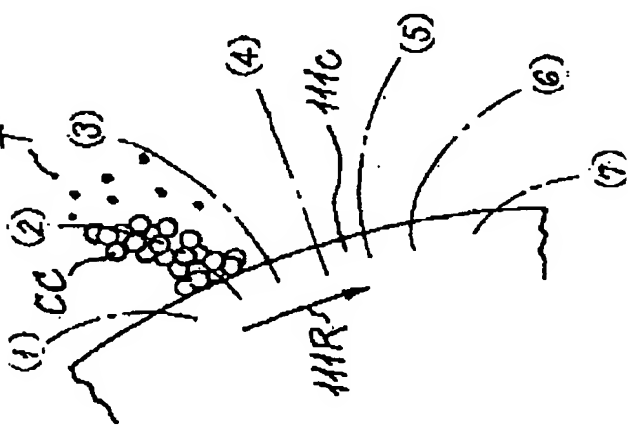


FIG. 5C

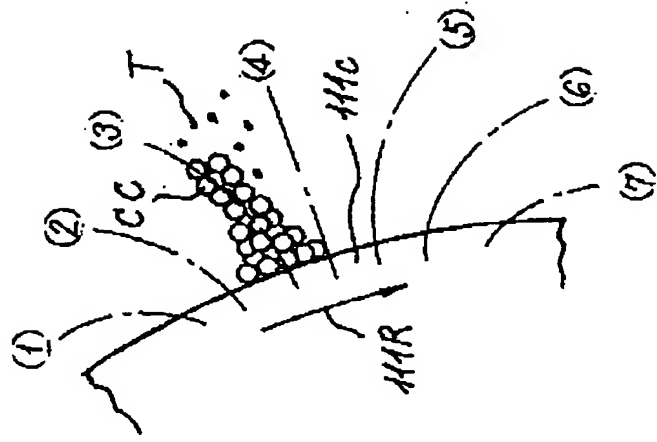


FIG. 5D

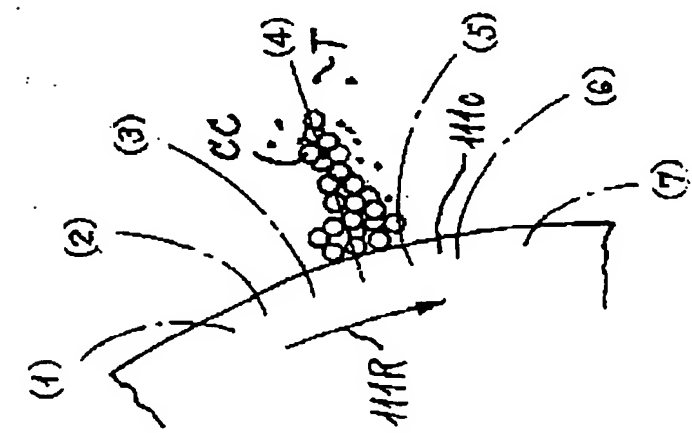


FIG. 5E

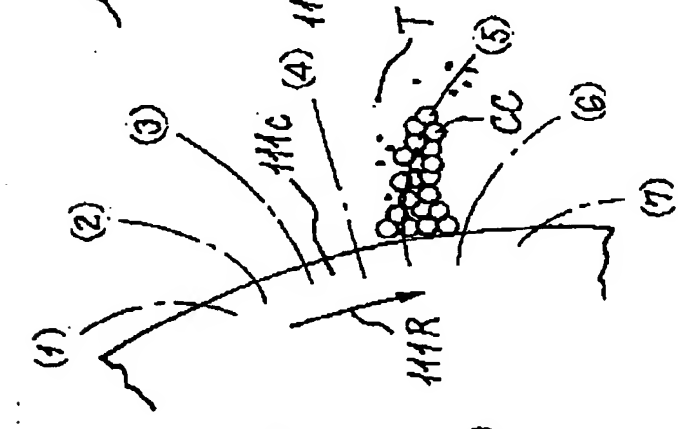


FIG. 5F

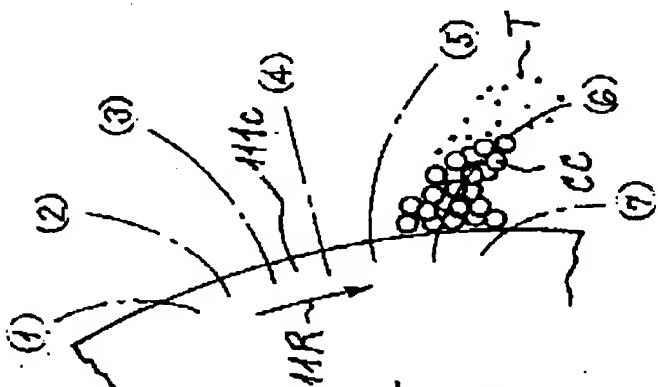


FIG. 5G

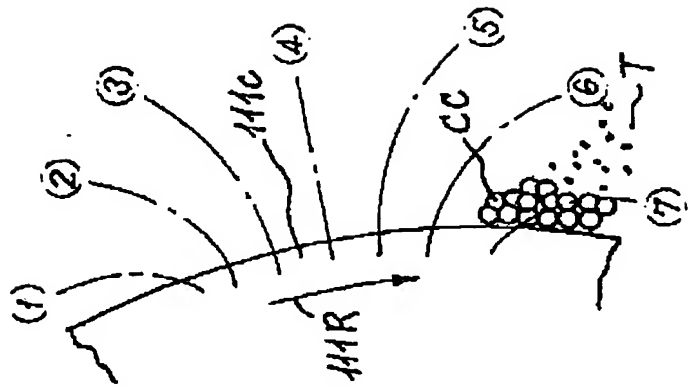


FIG. 6

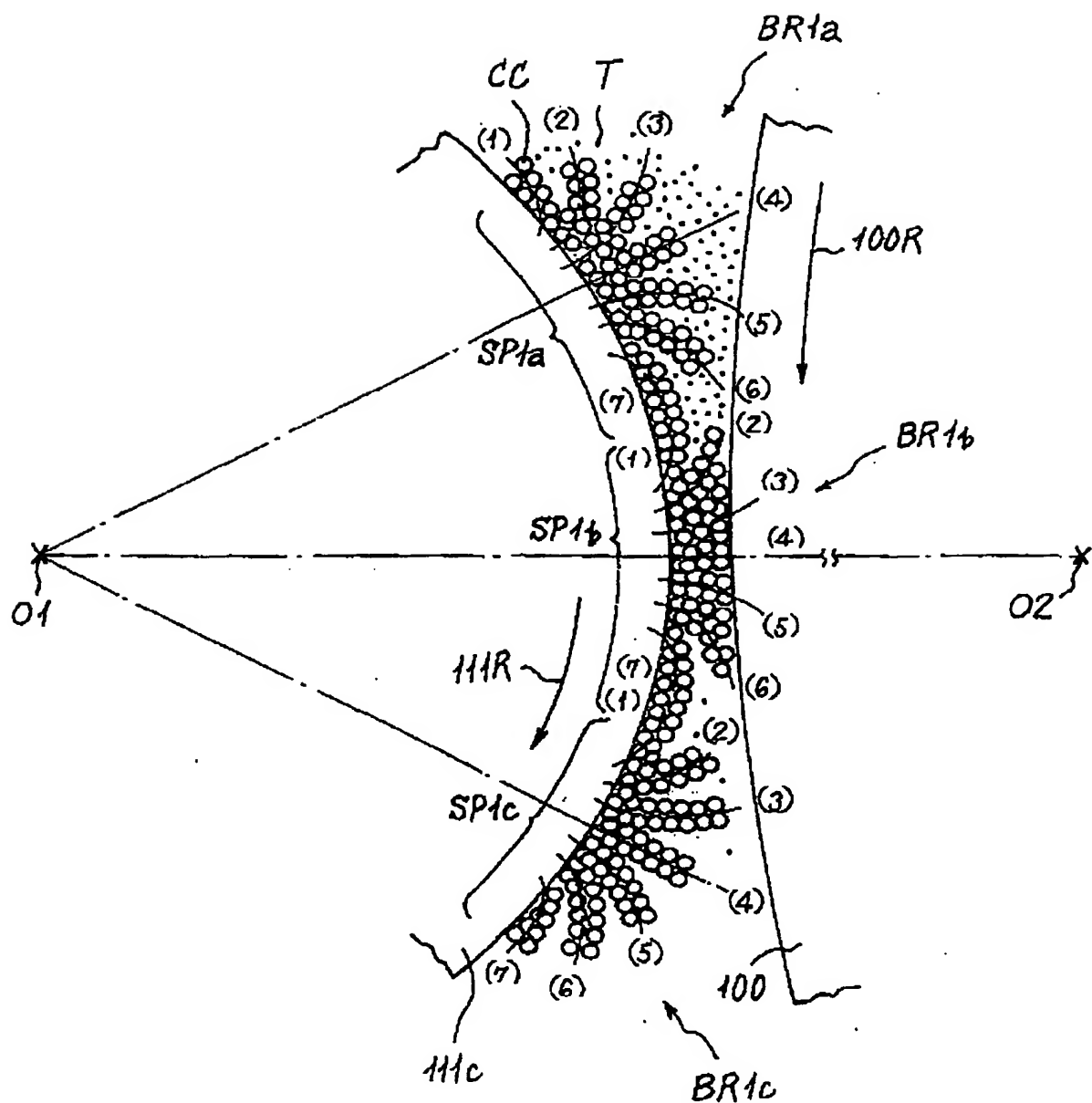


FIG. 7

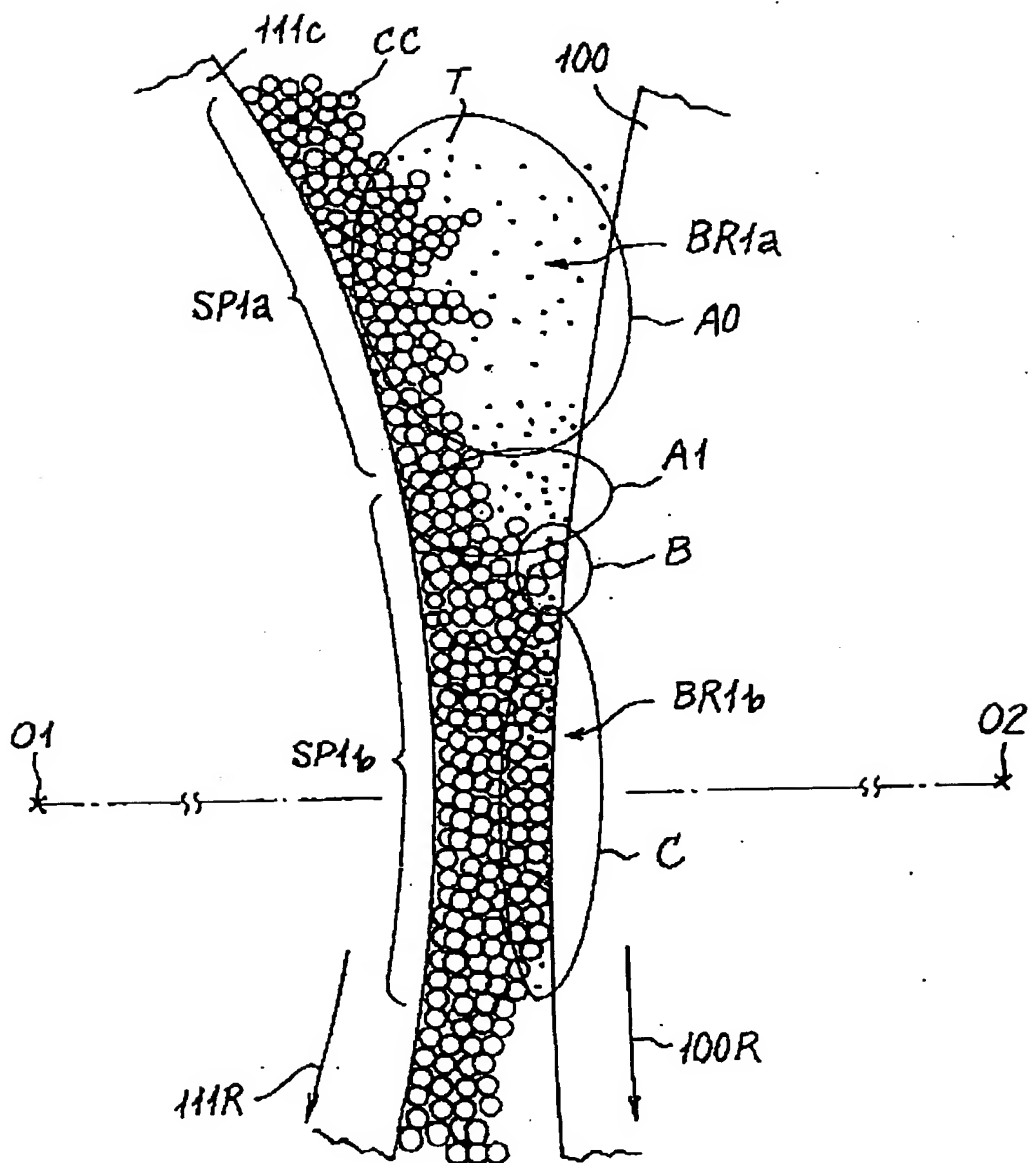


FIG. 8

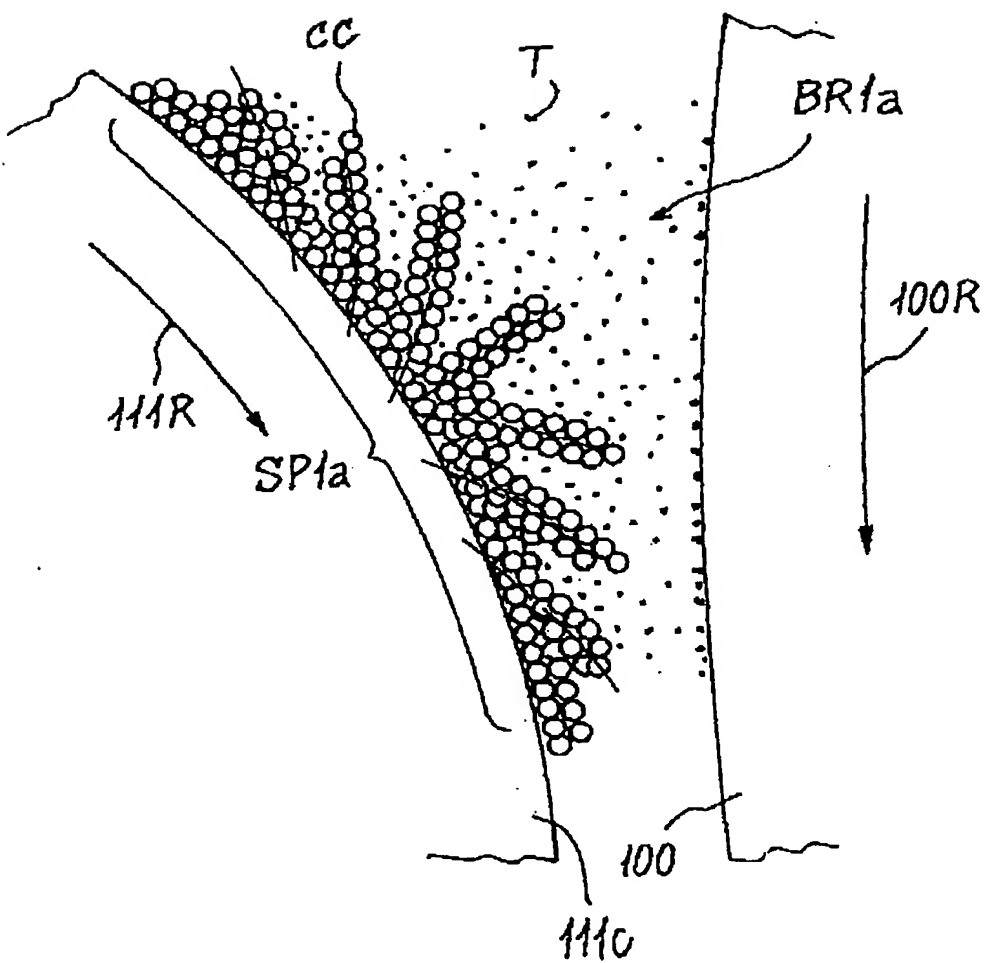


FIG. 9

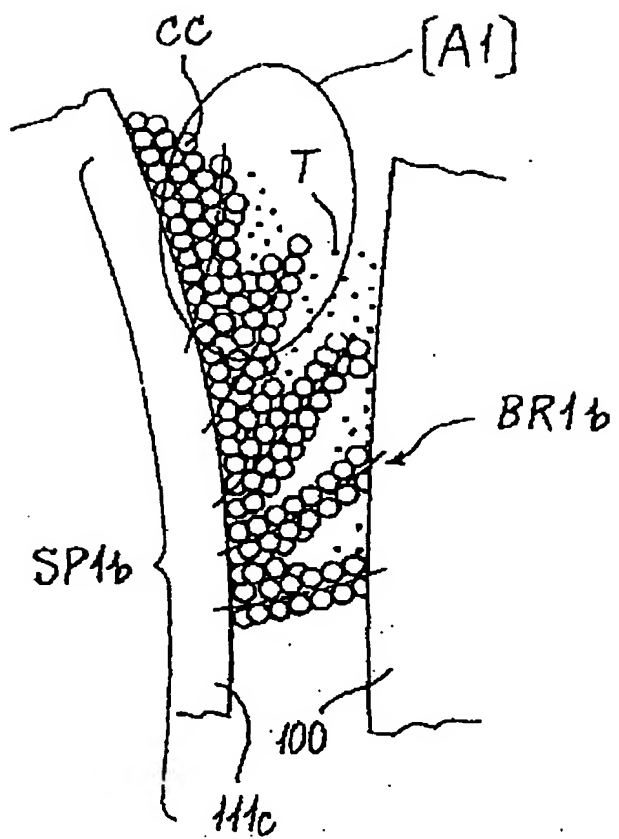


FIG. 10

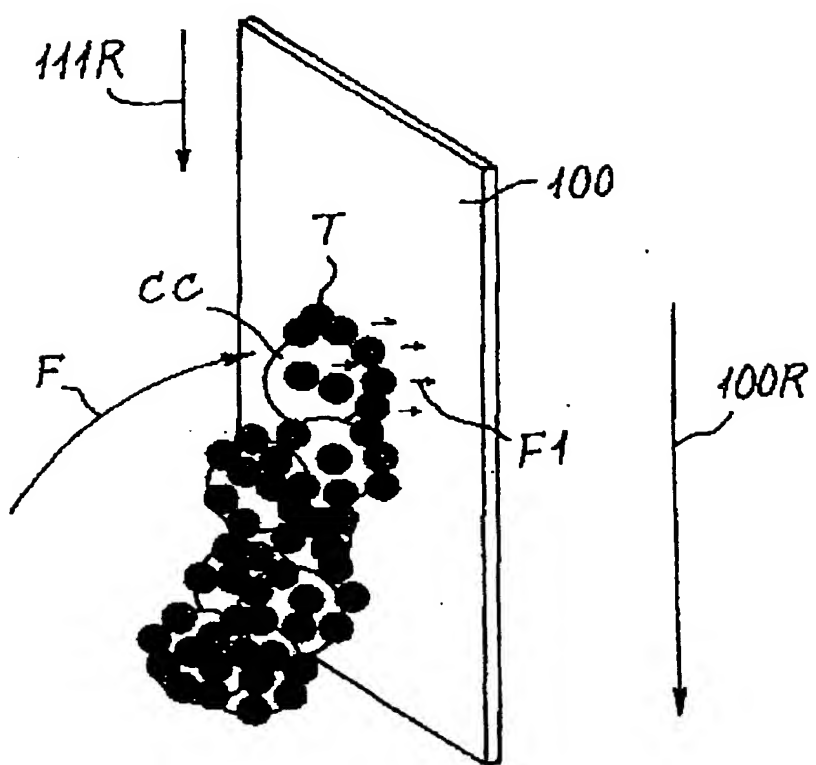


FIG. 11

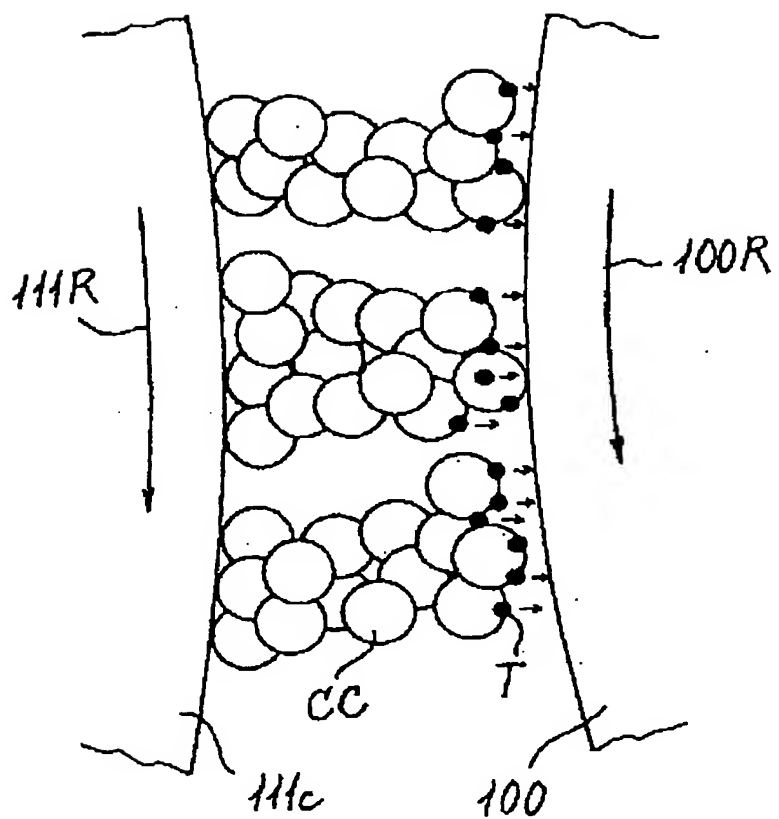


FIG. 12

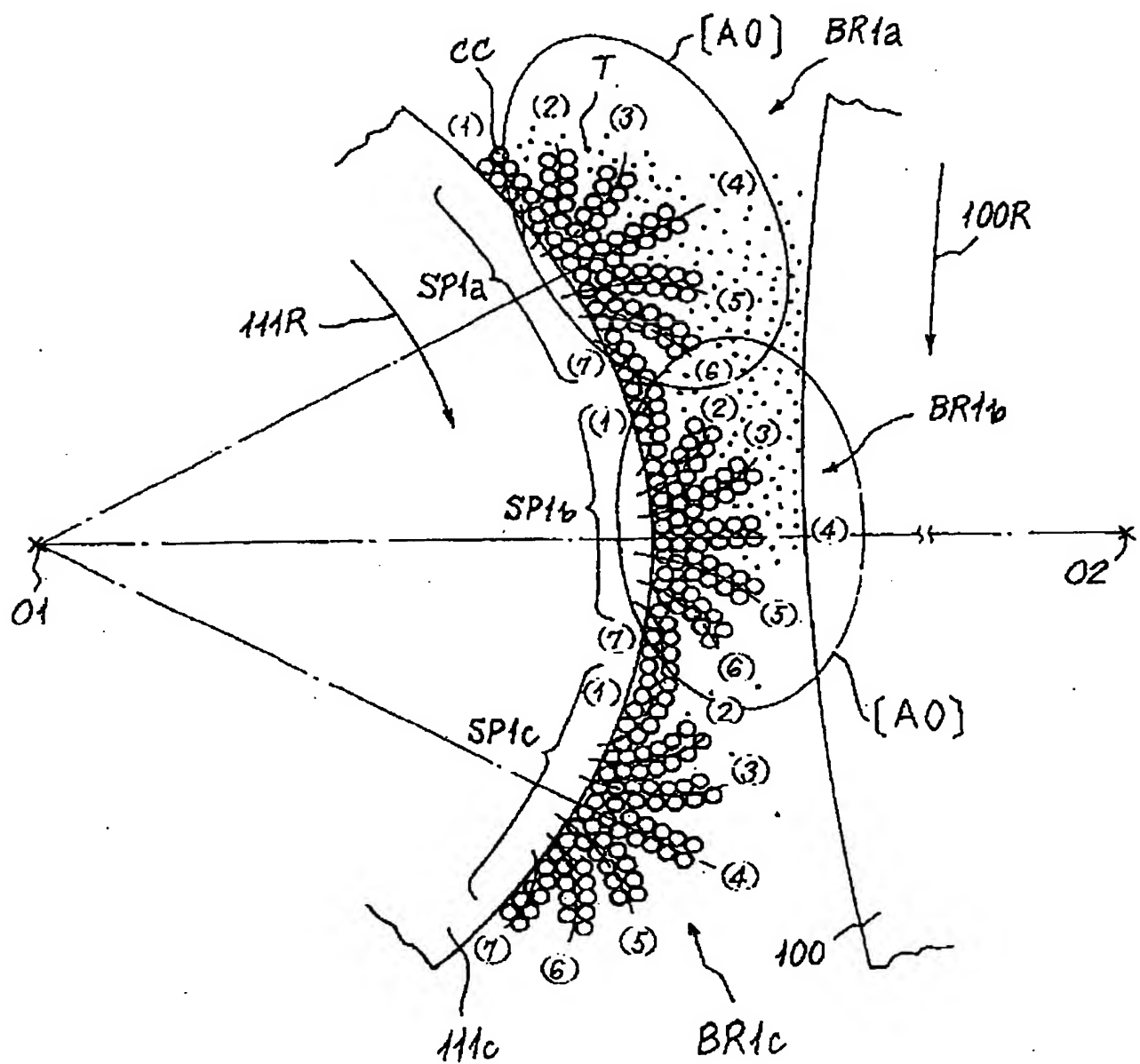


FIG. 13

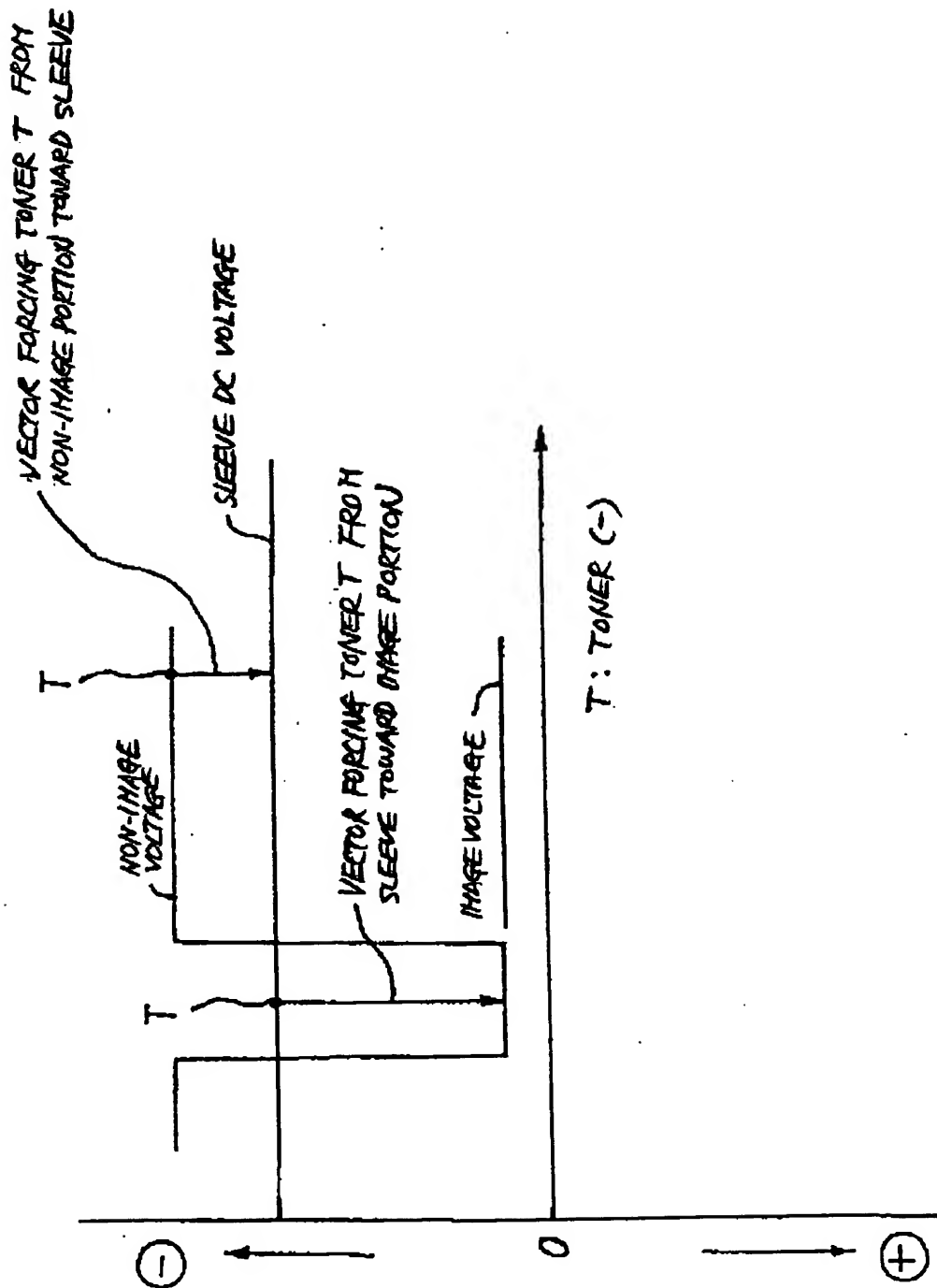


FIG. 14

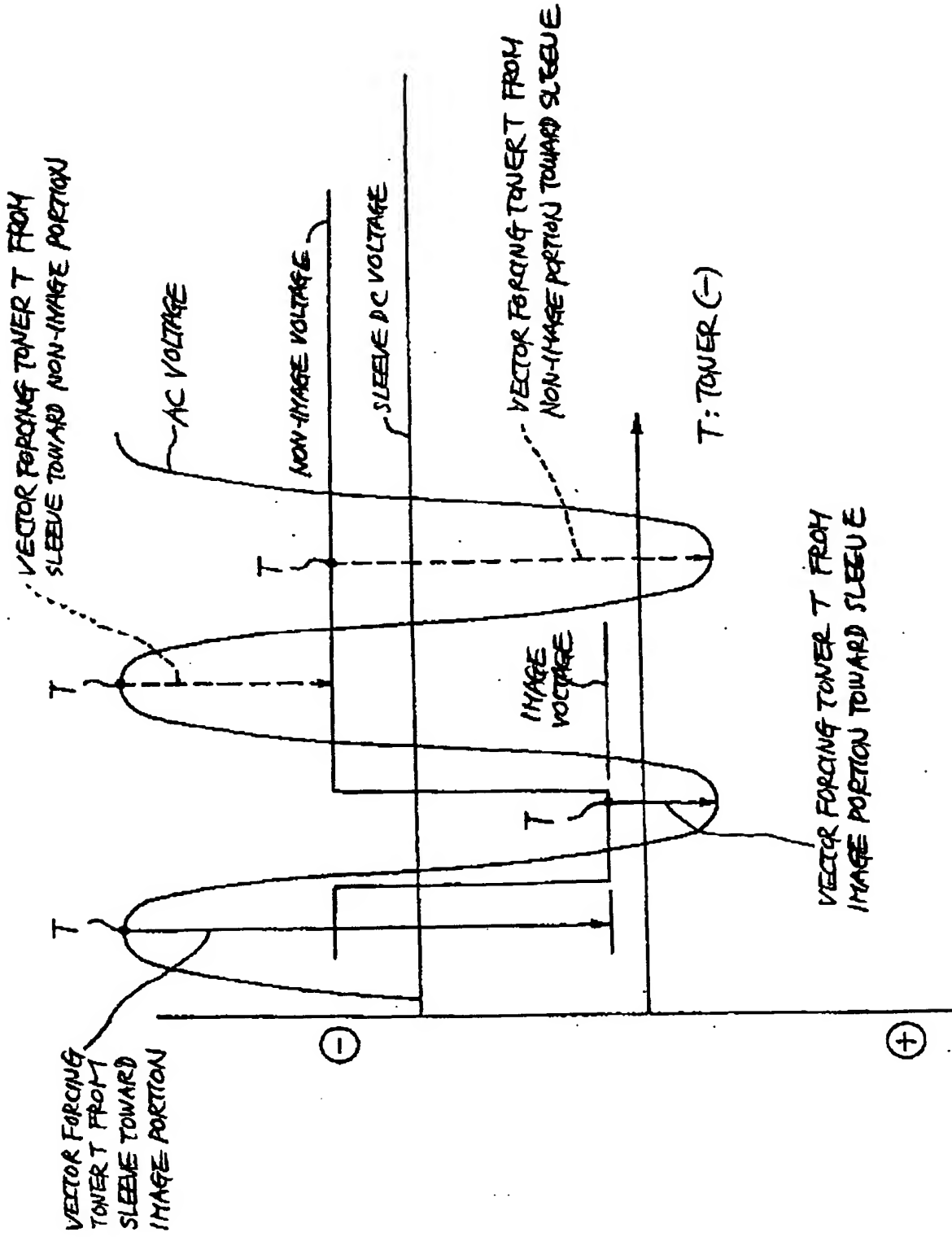


FIG. 15

q / m $(\mu \text{C/g})$	T_c (wt%)	d (μm)	D (μm)	R (mm)	V_{SL} (mm/s)	$BRIGHT FIELD$ $\times F = 0$	L (mm)	E (10^6v/m)	$POWER$ $FIELD$
-20	6	7	35	30	385	1.00	6.4	1.06	○
-20	5	7	35	30	210	1.88	4.8	1.61	×
-20	5	7	35	30	210	1.83	3.7	2.09	○
-30	5	7	35	30	210	2.75	2.7	2.51	×
-30	5	7	35	30	210	2.75	1.1	3.52	○
-20	10	7	35	30	210	1.26	6.4	1.51	○
-20	5	7	50	30	210	1.07	6.4	1.06	○
-20	5	7	50	18	210	0.65	6.4	1.06	○

FIG. 16

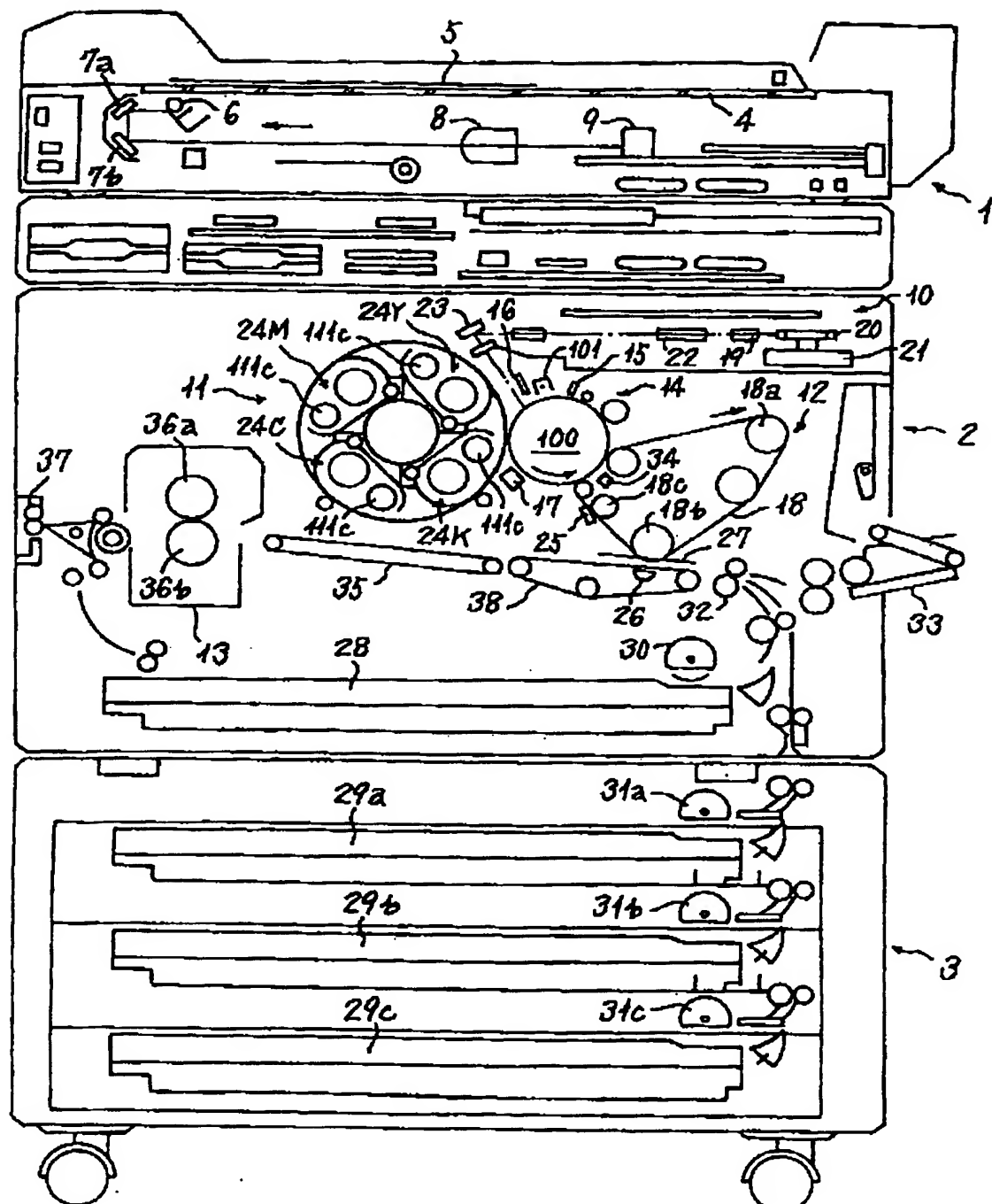


FIG. 17

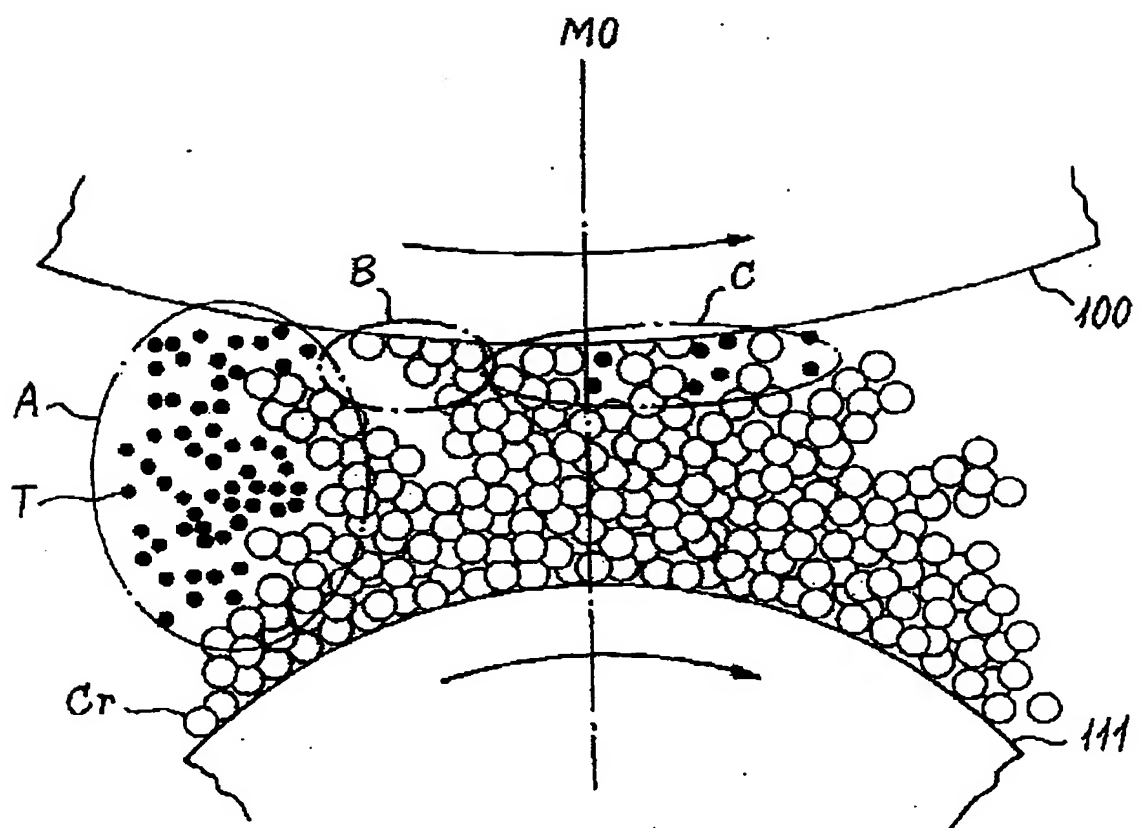


FIG. 18

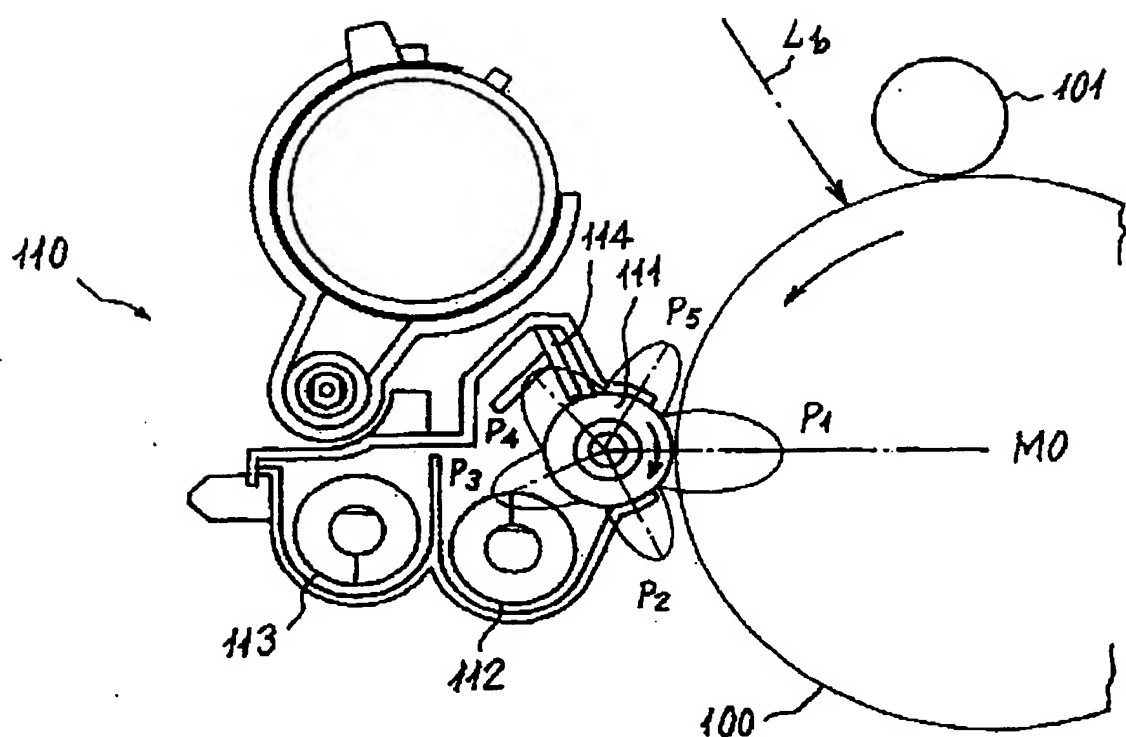


FIG. 19

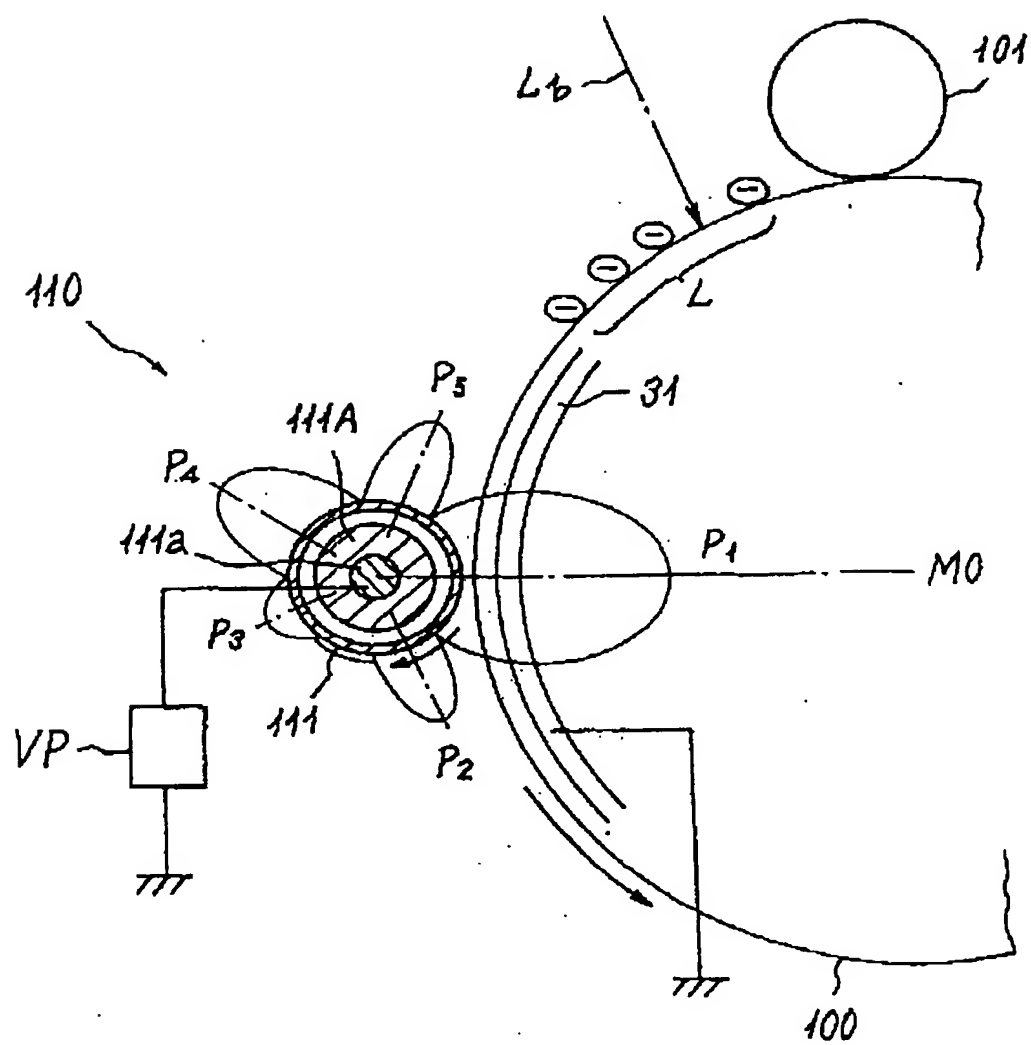


FIG. 20

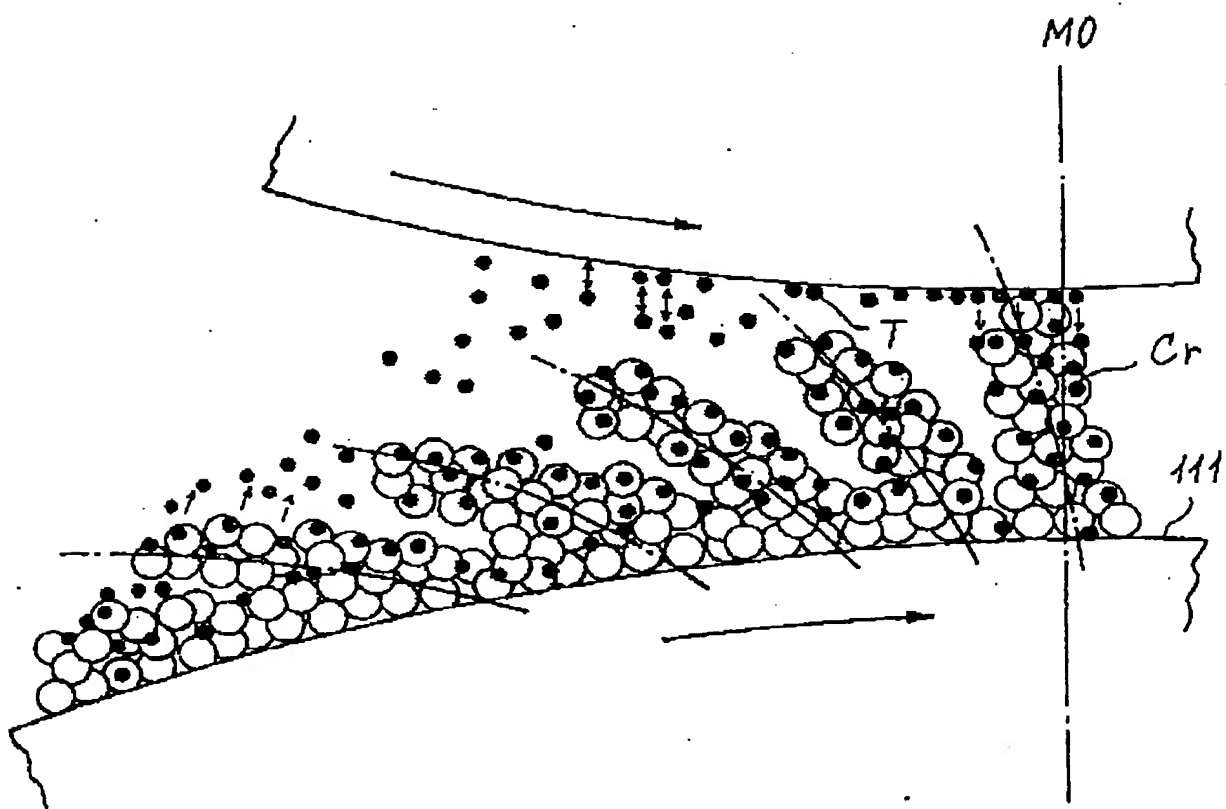


FIG. 21A

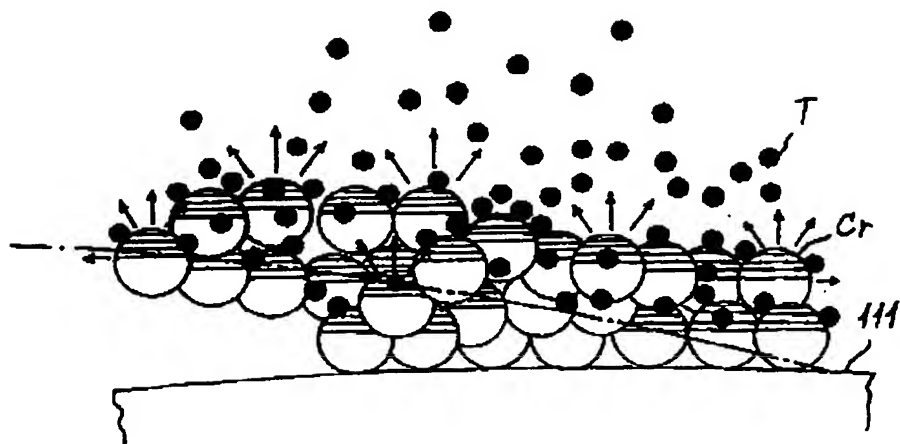


FIG. 21B

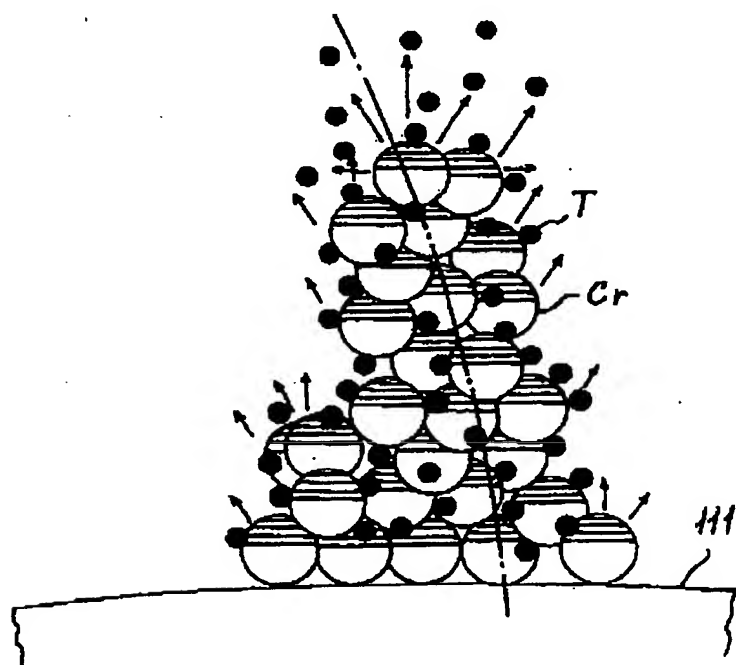


FIG. 22

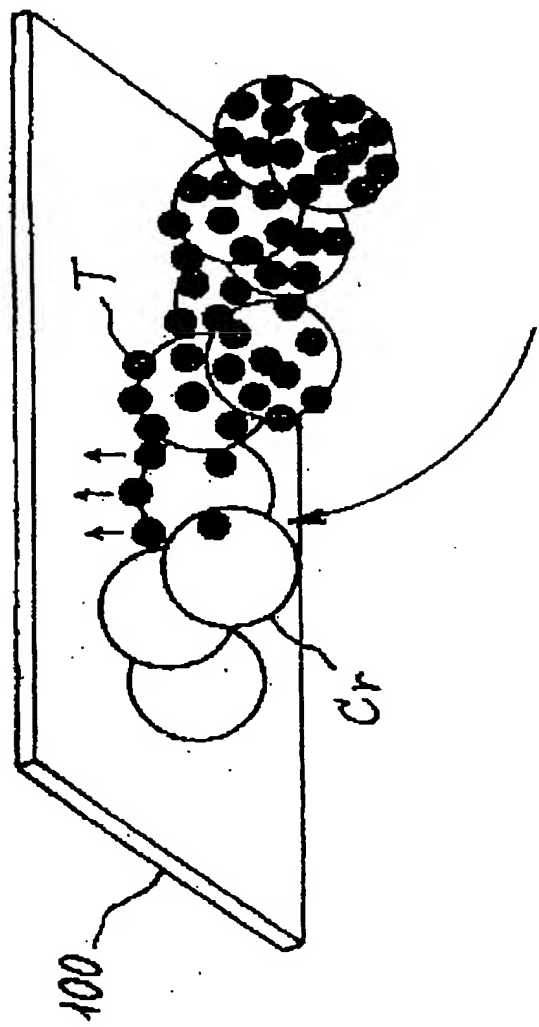


FIG. 23

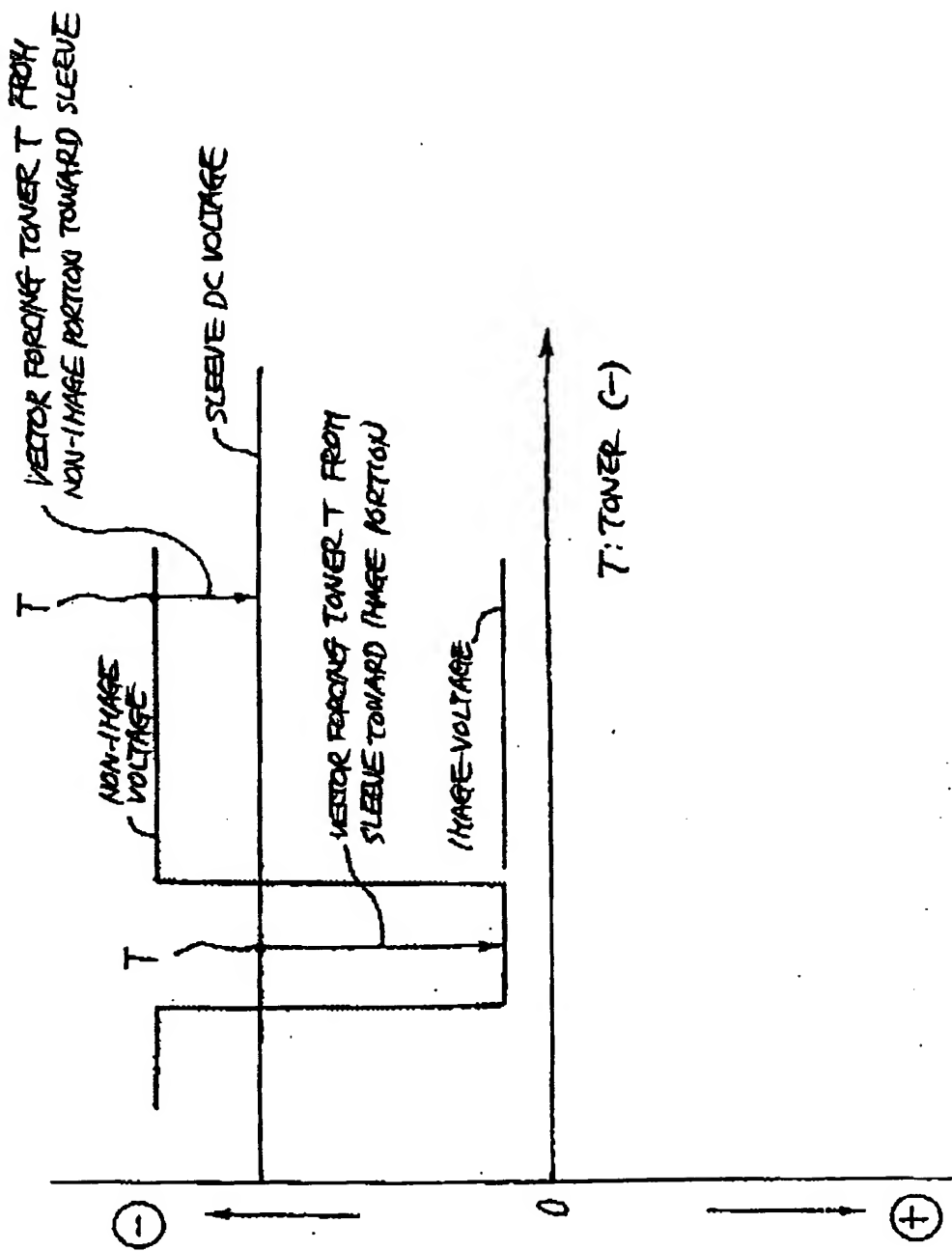


FIG. 24A

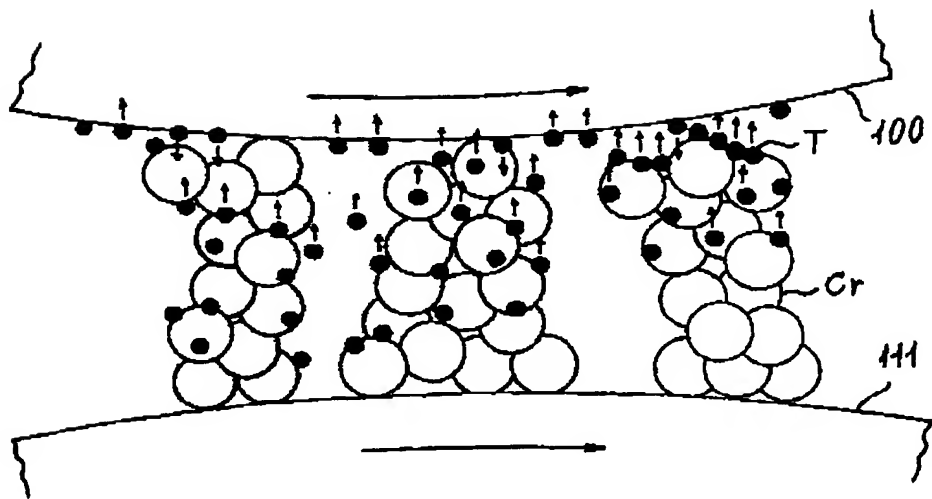


FIG. 24B

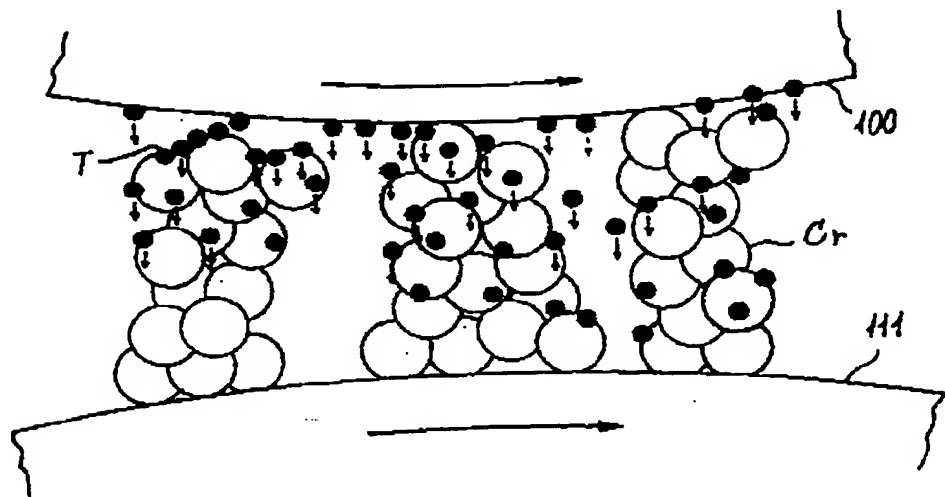


FIG. 25

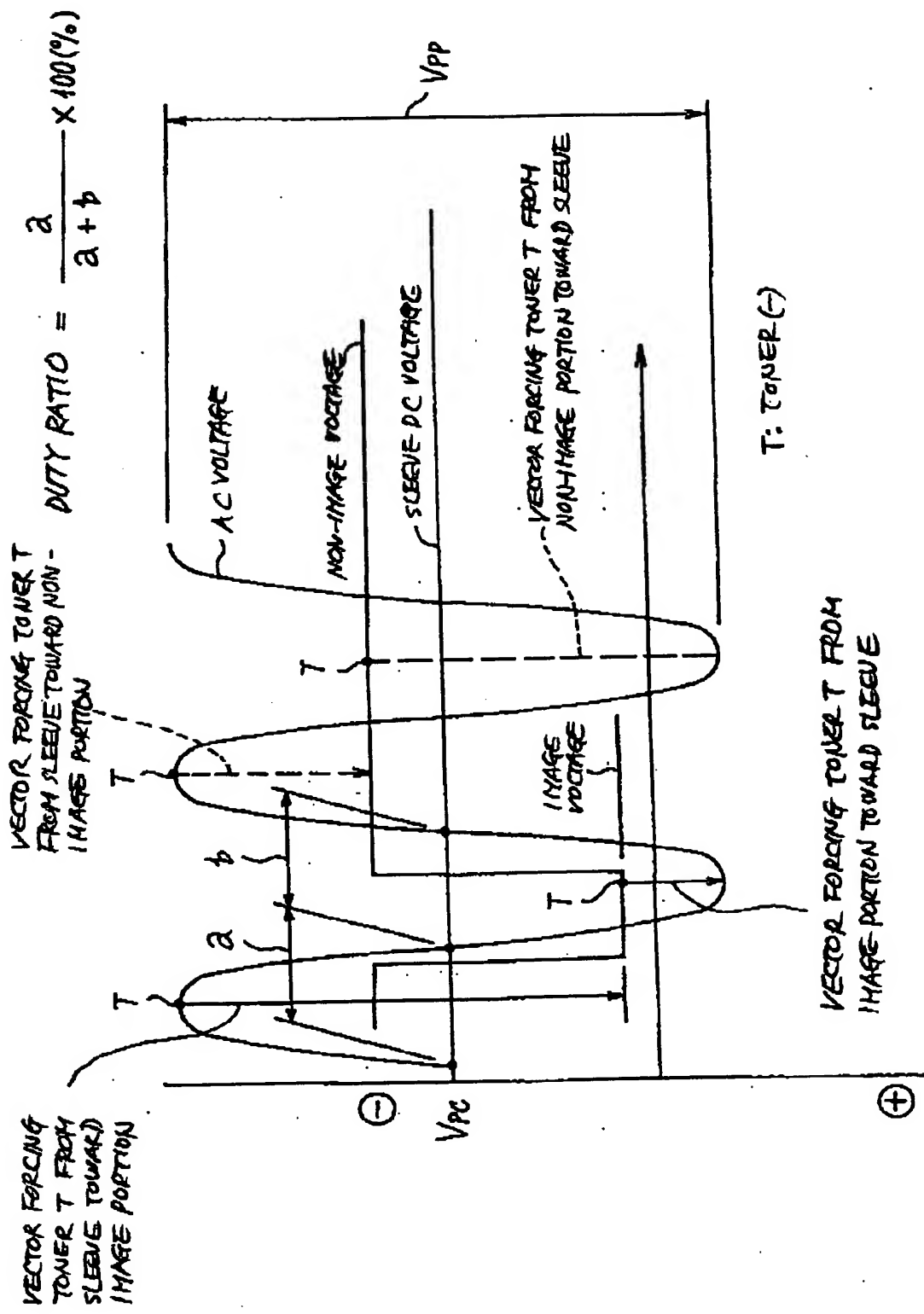


FIG. 26A

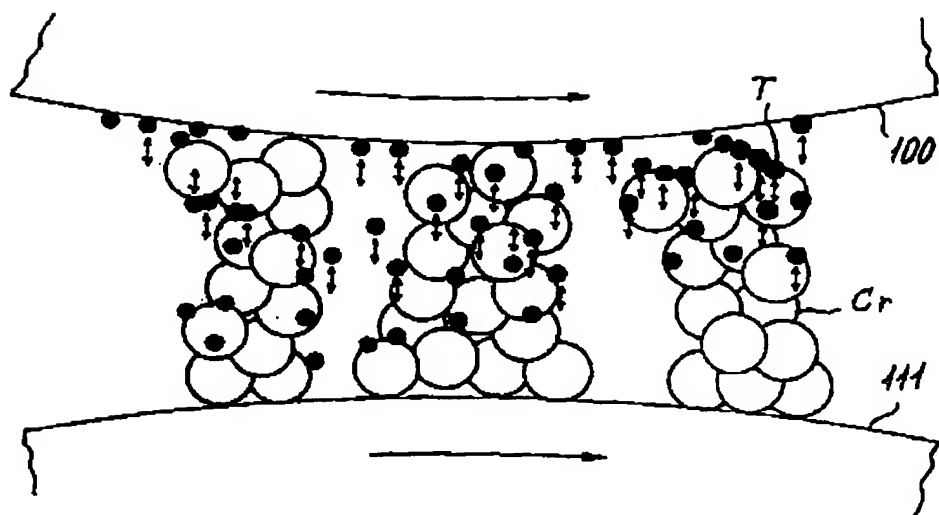


FIG. 26B

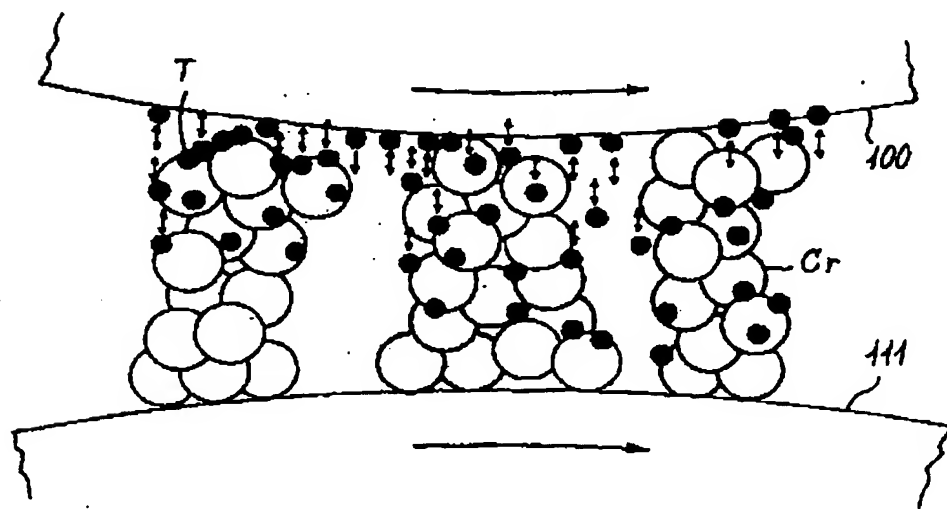


FIG. 27A

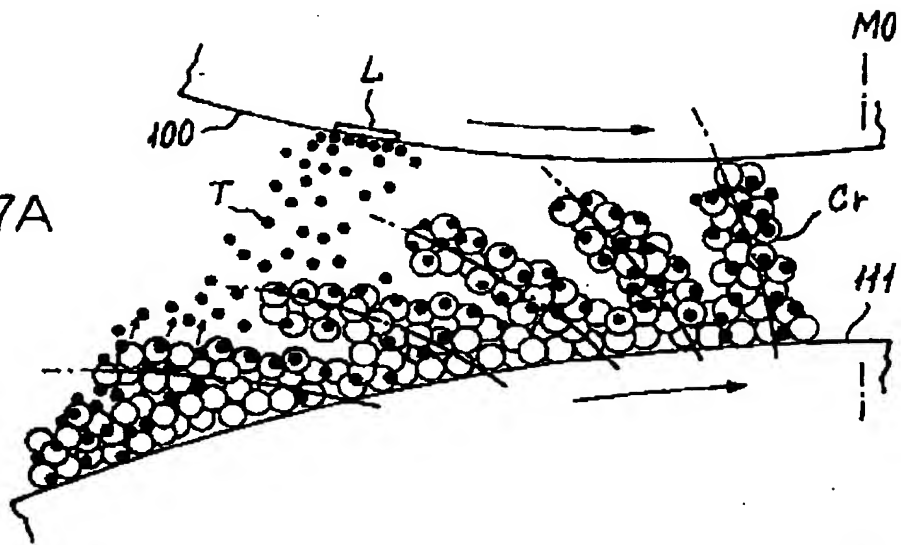


FIG. 27B

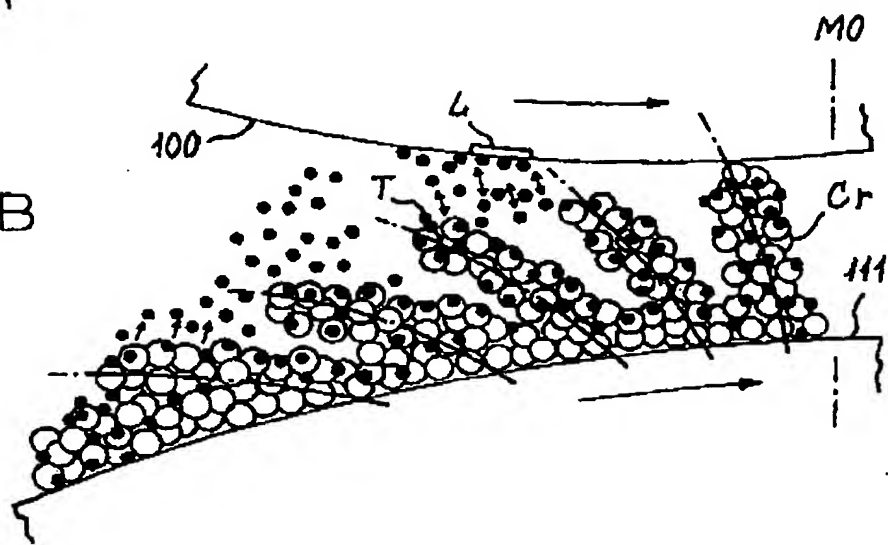


FIG. 27C

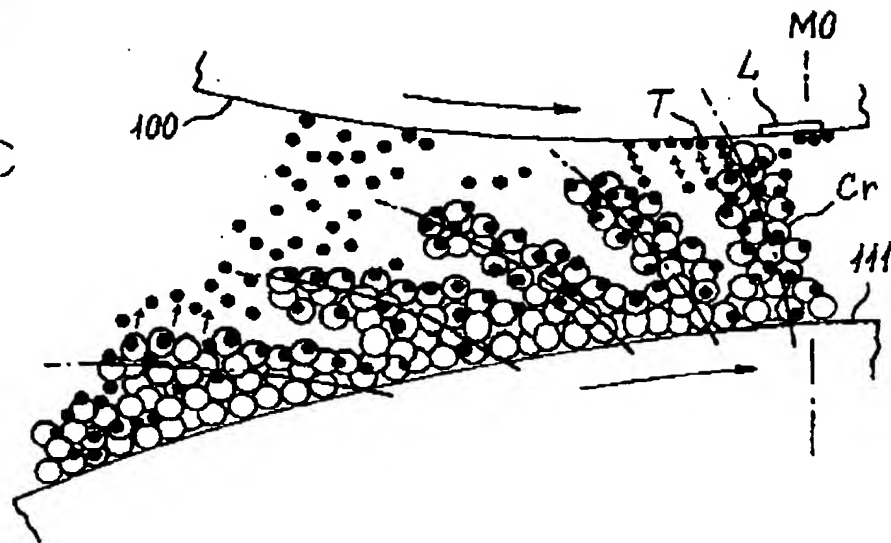


FIG. 28

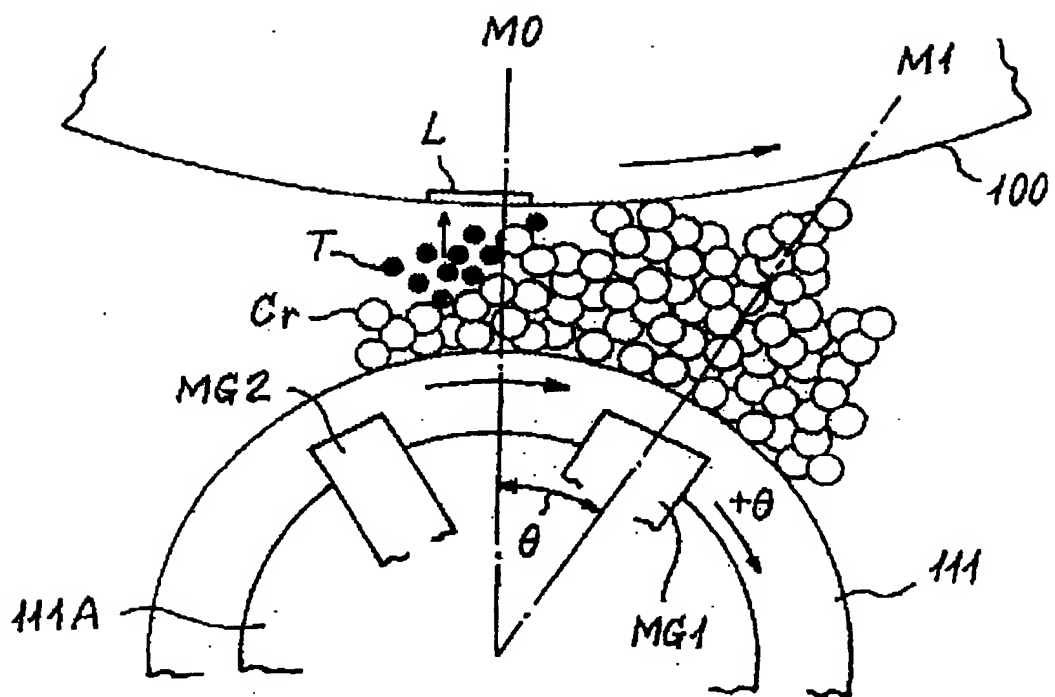


FIG. 29

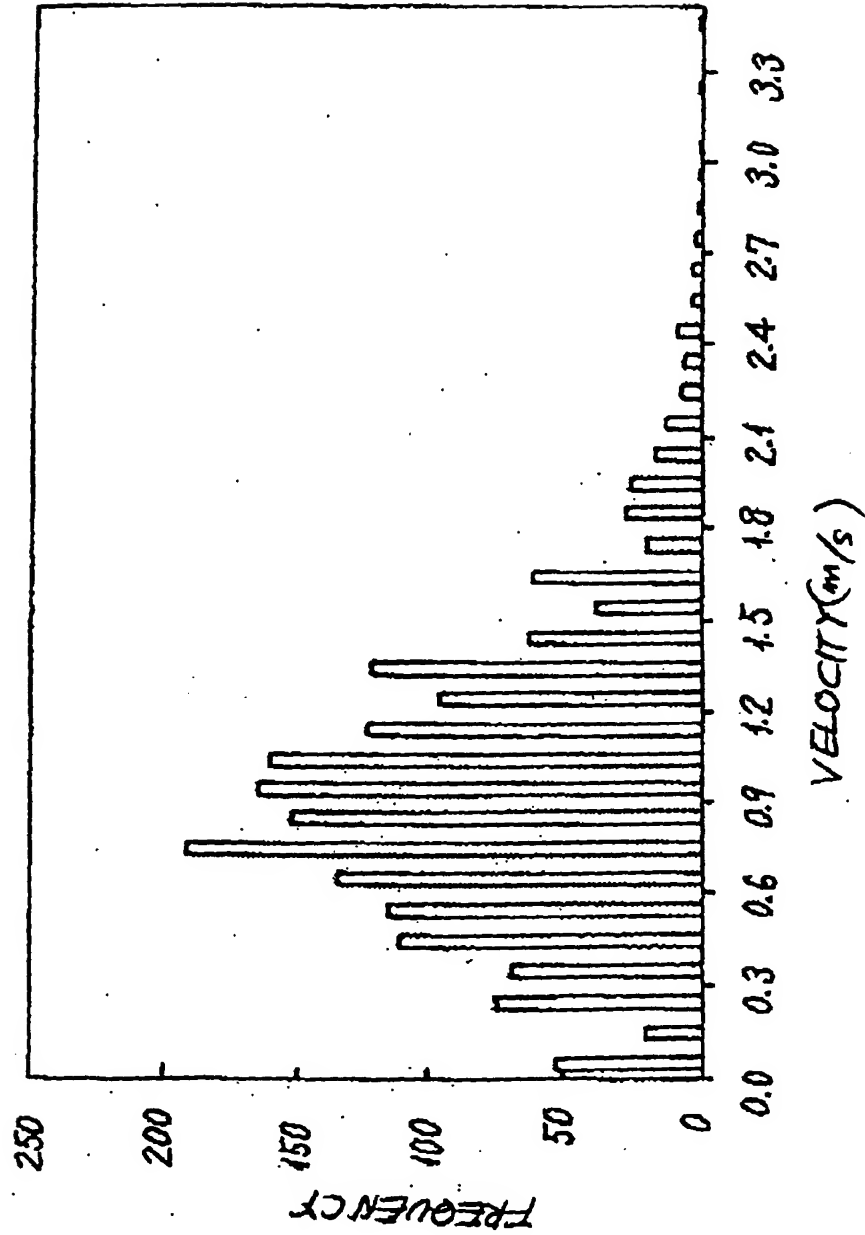


FIG. 30

DUTY RATIO (%)	VELOCITY FOR $V_{pc} - V_{oc} = 400V$		MEAN (m/s)	STANDARD DEVIATION	MEAN (m/s)	DENSITY UNIFORMITY	DOT UNIFORMITY
	MEAN (m/s)	$V_{pc} - V_{oc} = 200V$					
EX. 1	50	0.87	0.51	0.50	0	○	○
COH. EX. 1	40	0.80	0.42	0.45	Δ	○	○
EX. 2	20	0.95	0.57	0.58	○	○	○
EX. 3	60	1.0	0.66	0.65	○	○	○
COM. EX. 2	85	1.1	0.75	0.68	○	△	×